

# 基于 Rader 算法实现 FFT

麦金杰 16337179 刘上华 16337157 麦显忠 16337180  
唐诗佳 16337221 田晓晴 16337223

**摘要** 本文基于 Rader 算法实现 FFT，与 matlab 自带函数包 FFT 进行结果比对，验证所实现 Rader 算法的正确性，最后与实现的 DFT 及指基 2 的 Cooley-Turkey 快速傅立叶变换进行复杂度比较。

**关键词：**FFT ， Rader 算法，卷积

## 1. 文献综述

J.W.Cooley 和 J.W.Tukey 提出快速傅立叶算法<sup>[1]</sup>，按照基本蝶形运算的构成，将尺寸  $N=N_1*N_2$  重新表达为在  $N_1$  尺寸下更小的  $N_2$ ，将每种算法分为基 2、基 4、基 8、基 16 及任意因子的 FFT 算法。一般来说基数越高总计算量越少，但是考虑算法的复杂性，基 2、基 4 是目前使用最广泛的算法。

Duhamel 和 Hollmann 提出分裂基快速算法<sup>[2]</sup>，该算法基本思路是对偶序号输出使用基 2 算法，奇序号输出使用基 4 算法。分裂基算法只能应用于  $N$  是 4 的倍数，但算法可以形成更小的 DFT 从而与任何其他 FFT 算法根据需要进行组合。在已知的  $N=2^M$  的各种算法中，分裂基算法所需的乘法数最小，并接近理论上的最小值。

Kolba 和 Parks 提出素数 DFT 算法——素因子算法（PFA）<sup>[3]</sup>。这种算法用中国余数定理映射，将  $N=N_1N_2$  一维 DFT 变换为多维 DFT，当  $N_1$  和  $N_2$  两个为互素因子时，大小为  $N_1N_2$  的二维 DFT 可以变换为  $N_1$  个  $N_2$  点一维 DFT 和  $N_2$  个  $N_1$  点一维 DFT，比 FFT 所需算法次数少<sup>[4]</sup>。

本文实现的 Rader 算法<sup>[5]</sup>，通过将 DFT 重新表达为循环卷积来计算素数大小的离散傅里叶变换（DFT），由于 Rader 算法只取决于 DFT 内核的周期性。因此可直接应用具有素数阶任何变换。

## 2. 原理技术

本次项目中我们复现 Rader's FFT，这种方法是计算素数长度的离散傅里叶变换。其思想是通过循环卷积重新表达 DFT，从而将素数情形转换为非素数情形。

### 2.1 Rader 算法

Rader 算法的基本思想是利用 DFT 矩阵  $F_p$  中  $\omega_p$  的幂级数的特殊排列结构将 DFT 形式

$$H_n = \sum_{k=0}^{N-1} h_k e^{2\pi i k n / N}, n = 0, 1, 2, \dots, N-1 \quad (1)$$

以卷积形式重构，然后利用非素数长度的 FFT 进行计算。下面将详细介绍计算步骤。<sup>[6]</sup>

(1) 将  $h_0$  从①式中分离，令  $\omega_p = e^{\frac{2\pi i}{N}}$ ，得到表达式为

$$H_0 = \sum_{p=1}^{p-1} h_p, \quad ,$$

$$H_n = h_0 + \sum_{k=1}^{p-1} h_k \omega_p^{nk}, n=1,2,...,p-1 \quad (2)$$

(2) 求解模  $p$  单位群的生成因子

对  $\omega_p$  构成的矩阵  $F_p$ , 我们设法将其转换为循环矩阵。

设  $\mathbf{Z}_p^\times$  表示模  $p$  单位群, 即  $\mathbf{Z}_p^\times$  关于模  $p$  剩余类的乘法构成群。对于素数  $p$ ,  $1,2,...,p-1$  均在  $\mathbf{Z}_p^\times$  中。

对于循环群  $\mathbf{Z}_p^\times$ , 我们要找到其生成因子  $g(1 \leq g \leq p-1, g \in \mathbf{Z})$ 。即对于任意  $a \in \mathbf{Z}_p^\times$ , 存在唯一的一对  $i, j (i, j \in [0, p-2]), a = g^i \pmod{p}$  且  $a = g^{-j} \pmod{p}$ , 其中  $g^{-j}$  表示  $g$  的模  $p$  乘积逆元的  $j$  次幂, 即  $g^{-j} = (g^{-1})^j$ 。

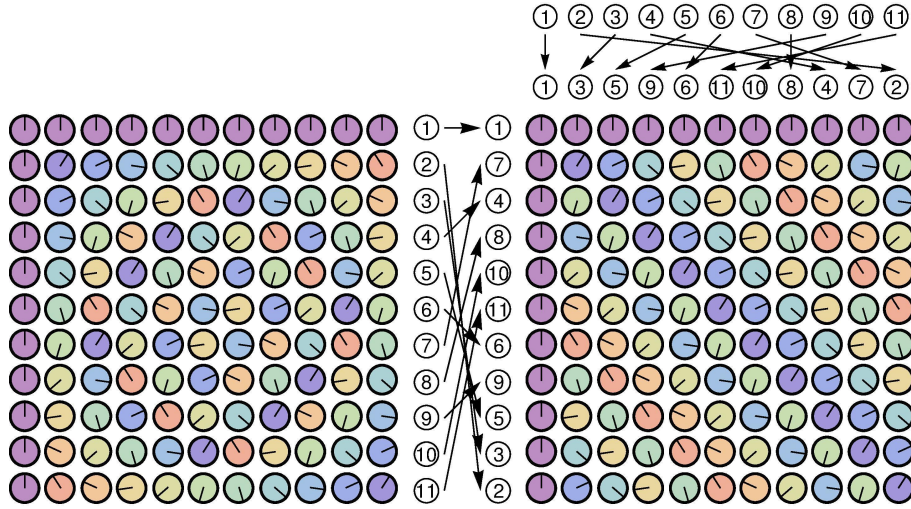


图 1

例如, 图 1 为秩为 11 的 DFT 矩阵通过行列变换转换为循环矩阵的直观表示。其中  $p=11, g=2$ 。对一维数组, 与循环矩阵相乘等价于循环卷积。<sup>[7]</sup>

(3) 卷积形式重构

确定群  $\mathbf{Z}_p^\times$  的生成因子  $g$ , 等式②可以被重写为

$$H_{g^{-r}} = h_0 + \sum_{q=0}^{p-2} h_{g^q} \omega_p^{g^{q-r}} = h_0 + \sum_{q=0}^{p-2} h_{g^q} \omega_p^{g^{-q} \cdot g^r} \quad , \quad r=0,1,...,p-2 \quad (3)$$

这里用到  $h_k, H_k$  都和  $p$  互素以及  $\omega_p^p=1$  的性质。

设长度为  $p-1$  的序列  $a_q = h_{g^q}, b_q = \omega_p^{g^{-q}} (0 \leq q \leq p-2)$ , ③中的求和部分可以表示为  $a_q$  与  $b_q$  的卷积形式。

(4) 计算 FFT

$$\text{令 } \tilde{h} = a_q = h_{g^q}, \quad \tilde{\omega}_p = b_q = \omega_p^{g^{-q}}, \quad \tilde{H} = H_{g^{-r}} \text{ 则}$$

$$\tilde{H} - h_0 = \text{IDFT}[\text{DFT}[\tilde{h}] \cdot \text{DFT}[\tilde{\omega}_p]] \quad (4)$$

从而求得原表达式结果。

## 2.2 局限性及改进

Rader's FFT 的不足之处在于若对于素数  $p$ ,  $p-1$  具有很大的素因子时, 需要

递归调用 Rader's FFT, 这可能会比直接递归调用传统 FFT 更低效。

为了解决这一问题, 可以采用补零的方法。设有一维数组  $f[i]$  和  $g[i]$ , 长度均

为  $M-1$  ( $M$  为素数), 两序列卷积形式为  $(f * g)[n] = \sum_{m=0}^{M-1} f[m]g[n-m]$ , 其中序列下标

均从 0 开始且在模  $M$  剩余系中。

我们构造长度为  $M'$  ( $M' \geq 2M-3$ ) 的新序列  $f'[j]$  和  $g'[j]$ , 在实现时我们取  $M'=2^n$ 。 $f'[j]$  通过在  $f[0]$  和  $f[1]$  之间填充  $M'-M$  个 0 得到,  $g'[j]$  通过循环重复  $g[j]$  中的值填充至长为  $M'$ 。可以证得  $(f' * g')[n] = (f * g)[n]$ 。

### 3. 实验结果

本次实验中实现的是一维 FFT。我们采用不同的素数  $p$  进行测试, 将自己实现的 Rader 算法、利用 Matlab 内置 FFT 实现的结果, 以及实现的作差进行比较。如图 2 所示, 验证了 Rader 算法对于素数长度的傅里叶变换运算的正确性。

本次实验还进行了一维 DFT、一维 FFT (Matlab 内置函数)、一维 rader 算法的运行时间比较, 如图 3 所示, DFT 具有  $O(N^2)$  的时间复杂度, 而 Matlab 内置 FFT 和 rader 算法时间几乎重合; 去除 DFT 干扰, 如图 4 所示, rader 算法运行时间大于直接调用 Matlab 内置的 FFT 运行时间。

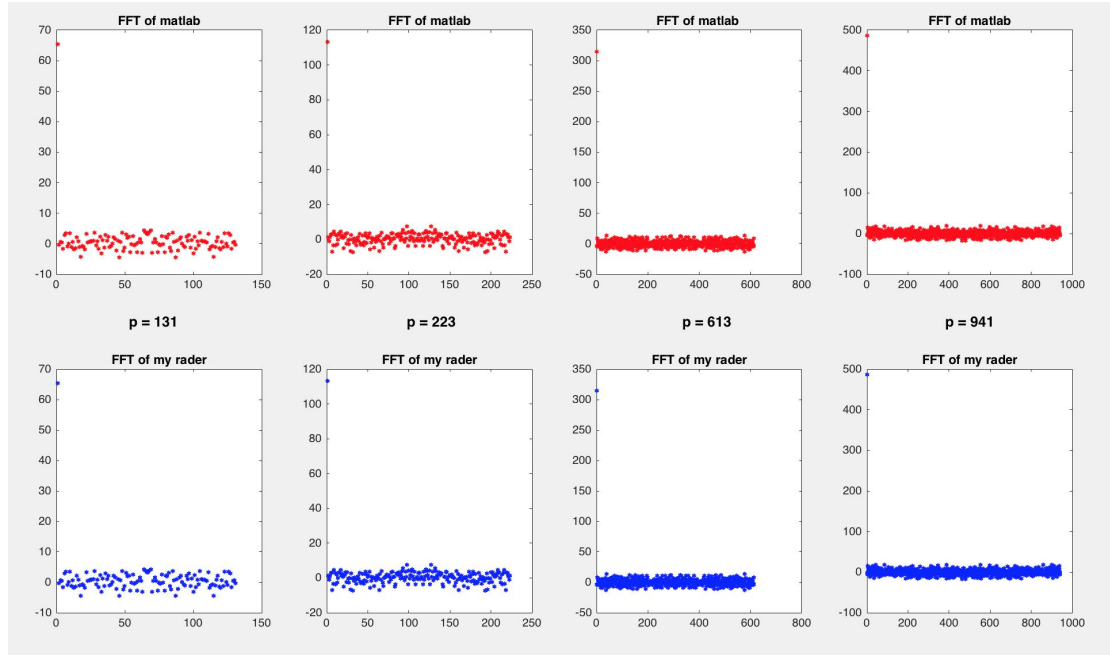


图 2. matlabFFT 与 Rader's FFT 结果对比图

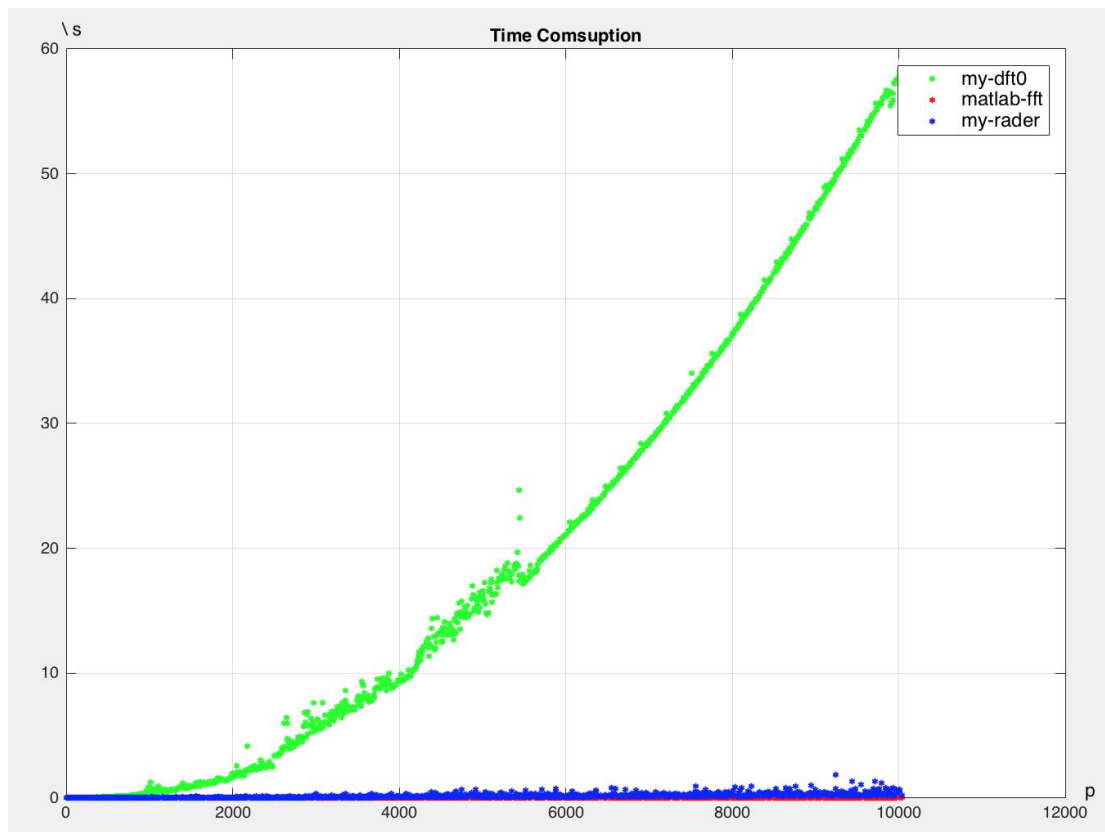


图 3.测试 Rader 算法与 matlab 内置 FFT 以及实现的 DFT 运行时间差异，横坐标为素数  $p$ ，纵坐标为  $p$  时的运行时间

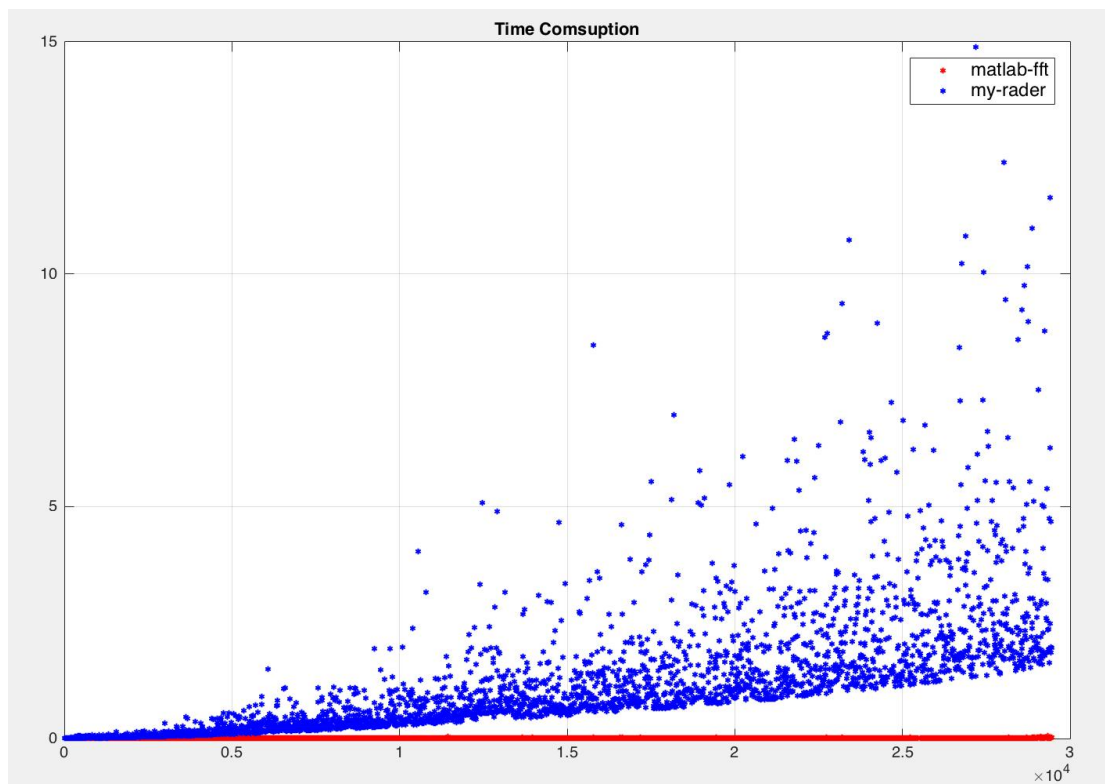


图 4.比较 Rader 算法与 matlab 内置 FFT，横坐标为素数  $p$ ，纵坐标为运行时间

## 4. 复杂度分析

假设给定长度为  $p$  的离散数据样本.

### 4.1 生成元

根据以上的算法描述, 我们首先需要寻找循环群的生成元, 这里根据数论的一些知识, 我们通过查找文献<sup>[8]</sup>得出, 如果 GRH 为真, 那么寻找一个循环群的生成元的复杂度为  $O(\log^k p)$ ,  $k$  为常数。

GRH: (Generalized Riemann Hypothesis) 广义黎曼猜想, 狄利克雷  $L$  函数的所有非平凡零点的实部都为  $\frac{1}{2}$ 。

### 4.2 重排序

接下来需要对输入的  $p$  个数据样本重新排序, 并求出对应的逆元的顺序。即将  $h=[h_1 \ h_2 \ h_3 \ h_4]$  和初始的权重矩阵顺序进行重排。上文提到的求幂运算取模, 数论逆元等操作可以直接用快速幂算法( $O(\log_2 N)$ )实现, 一共有  $p-1$  轮迭代, 每轮的复杂度为  $O(\log_2 i)$ , 因此累乘下去的复杂度为:

$$\begin{aligned} \log_2 1 + \log_2 2 + \log_2 3 + \dots + \log_2 (p-2) &= \log_2 ((p-2)!) \\ &= \sum_{i=0}^{p-2} \log_2(i) \\ &\leq \sum_{i=0}^{p-2} \log_2(p-2) \\ &= (p-2) \log_2(p-2) \\ &= O((p-2) \log_2(p-2)) \end{aligned}$$

### 4.3 卷积运算和 FFT

最后 FFT 的结果需要由重排序的样本数据与重排序后  $\tilde{\omega}$  的相乘再进行逆变换得到, 即为④式:  $\tilde{H} \cdot h_0 = IDFT[DFT[\tilde{h}] \cdot DFT[\tilde{\omega}_p]]$ .

其中  $\tilde{\omega}$  和  $\tilde{h}$  长度都为  $p-1$ . 显然, 由于任何大于 2 的质数必定是奇数, 因此  $p-1$  必定是合数, 因此我们接下来可以对这两个长度为  $p-1$  的序列采用任一种基于合数的快速傅里叶变换(如混合基等).

事实上, 依据上面的讨论, 我们也可以在  $\tilde{h}, \tilde{\omega}$  后面补零一直到最近的 2 的幂数, 然后直接运用最简单的指基 2, 逐次加倍的 FFT, 而补零带来的影响是常数因子, 在复杂度讨论中可以不计.

因此, 两次 DFT 操作可以用 FFT 操作替代, 由 FFT 的复杂度为  $O(n \log(n))$ , 这两次 DFT 带来的时间开销为:  $O((p-1) \log_2(p-1))$ .

变换后的点乘再进行逆傅里叶变换, 由于序列长度进行 element-wise product 长度不变, 因此这里的开销也与上面完全一致. 现在我们回头考虑  $\tilde{H}_0$ , 它只需要一次累加就可得到, 因此复杂度为  $O(\log(p))$ .

### 4.4 总平均复杂度

依据上面的讨论, 我们就得到了 Rader 算法的总平均复杂度:

$$O(\log^k p) + O((p-2) \log_2(p-2)) + O((p-1) \log_2(p-1)) + O(\log(p)) = O(p \log(p))$$

因此我们不难发现, 该算法使得对于素数的傅里叶变换也能像基于合数的

FFT 算法一样达到  $O(p \log(p))$  的数量级, 尽管它可能要比它们慢若干常数倍.

但比起 brute-force DFT, 我们依旧获得  $c(p) = \frac{p^2}{p \log(p)} = \frac{p}{\log(p)}$  的计算优势.

## 参考文献

- [1] Cooley, James W.; Tukey, John W. (1965). "An algorithm for the machine calculation of complex Fourier series". *Math. Comput.* 19: 297–301.
- [2] P. Duhamel and H. Hollmann, "Split-radix FFT algorithm," *Electron. Lett.* 20 (1), 14–16 (1984).
- [3] Good, I. J. (1958). "The interaction algorithm and practical Fourier analysis". *Journal of the Royal Statistical Society, Series B.* 20 (2): 361–372.
- [4] HEIDEMAN MT. Multiplicative complexity, convolution, and the DFT. New York: Springer-Verlag, 1998
- [5] C. M. Rader, "Discrete Fourier transforms when the number of data samples is prime," *Proc. IEEE* 56, 1107–1108 (1968).
- [6] <https://skybluetrades.net/blog/posts/2013/12/31/data-analysis-fft-9.html>
- [7] [https://en.wikipedia.org/wiki/Rader's\\_FFT\\_algorithm](https://en.wikipedia.org/wiki/Rader's_FFT_algorithm)
- [8] Adamski, T., & Nowakowski, W. (2015). The average time complexity of probabilistic algorithms for finding generators in finite cyclic groups. *Bulletin of the Polish Academy of Sciences Technical Sciences*, 63(4), 989-996.